Elettromagnetismo

Prof. Francesco Ragusa Università degli Studi di Milano

Lezione n. 13 - 11.11.2022

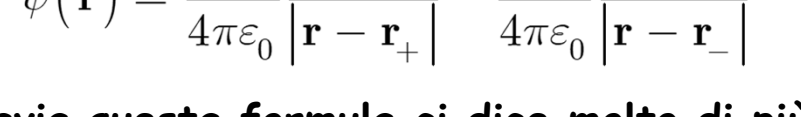
Dipolo Elettrico Forze sul dipolo. Dipoli atomici Espansione multipolare

Anno Accademico 2022/2023

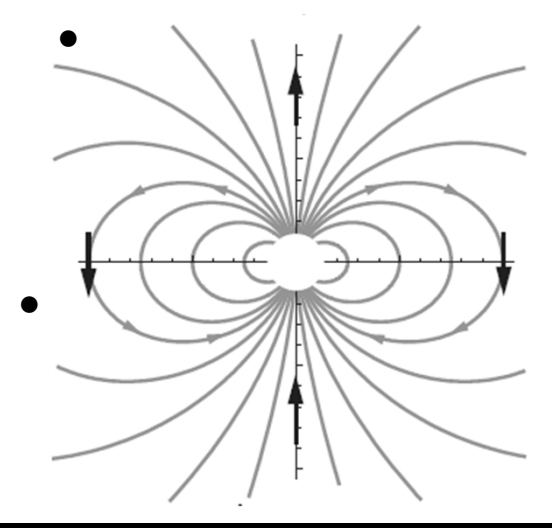
Dipolo elettrico

- Studiamo adesso il campo elettrico prodotto da un sistema di due cariche di segno opposto +q e -q poste a distanza d
 - Abbiamo già visto questo sistema in un altro contesto
 - ullet Calcoliamo il potenziale ψ (usiamo ψ invece di ϕ per evitare in seguito confusione con l'angolo azimutale)

$$\psi(\mathbf{r}) = \frac{q}{4\pi\varepsilon_0} \frac{1}{\left|\mathbf{r} - \mathbf{r}_{+}\right|} - \frac{q}{4\pi\varepsilon_0} \frac{1}{\left|\mathbf{r} - \mathbf{r}_{-}\right|}$$

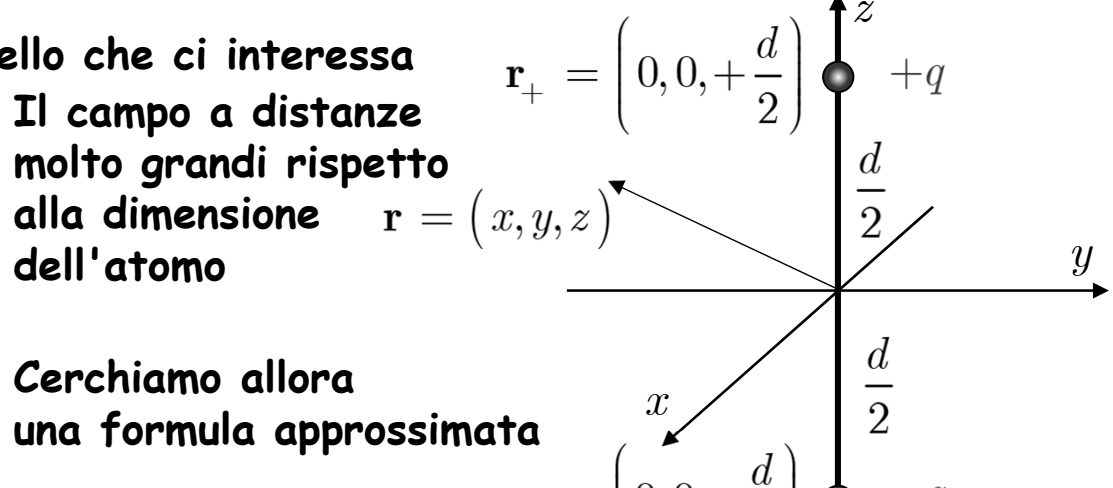


- Tuttavia questa formula ci dice molto di più di quello che ci interessa
 - Non mette in evidenza quello che ci interessa



dell'atomo

Cerchiamo allora una formula approssimata



+1

0

Dipolo elettrico

$$\psi(\mathbf{r}) = \frac{q}{4\pi\varepsilon_0} \frac{1}{\left|\mathbf{r} - \mathbf{r}_+\right|} - \frac{q}{4\pi\varepsilon_0} \frac{1}{\left|\mathbf{r} - \mathbf{r}_-\right|}$$

$$\mathbf{r}_{+} = \left(0, 0, +\frac{d}{2}\right) \qquad \quad \mathbf{r}_{-} = \left(0, 0, -\frac{d}{2}\right)$$

- ullet Consideriamo il potenziale in un punto ${f r}$
 - In coordinate sferiche $\mathbf{r} = (r, \theta, \phi)$
 - ullet C'è simmetria per rotazioni intorno a z
 - Non c'è dipendenza dall'angolo azimutale
 - ullet Esaminiamo i denominatori della formula (nel piano $\phi=0$)

$$\left| \mathbf{r} - \mathbf{r}_{+} \right| = \sqrt{r^{2} + \frac{d^{2}}{4} - rd\cos\theta} = r\sqrt{1 + \frac{d^{2}}{4r^{2}} - \frac{d}{r}\cos\theta}$$

• Trascurando $\frac{d^2}{r^2} \ll 1$

$$rac{1}{\left|\mathbf{r}-\mathbf{r}_{+}
ight|}pproxrac{1}{r\sqrt{1-rac{d}{r}\cos heta}}pproxrac{1}{r}igg(1+rac{d}{2r}\cos hetaigg)$$

Analogamente

$$rac{1}{\left|\mathbf{r}-\mathbf{r}_{\perp}
ight|}pproxrac{1}{r}igg(1-rac{d}{2r}\cos hetaigg)$$

Dipolo elettrico: potenziale

$$rac{1}{\left|\mathbf{r}-\mathbf{r}_{+}\right|}pproxrac{1}{r}igg(1+rac{d}{2r}\cos hetaigg) \qquad \qquad rac{1}{\left|\mathbf{r}-\mathbf{r}_{-}
ight|}pproxrac{1}{r}igg(1-rac{d}{2r}\cos hetaigg)$$

$$rac{1}{\left|\mathbf{r}-\mathbf{r}_{\perp}\right|}pproxrac{1}{r}igg(1-rac{d}{2r}\cos hetaigg)$$

• Introduciamo nella formula del potenziale

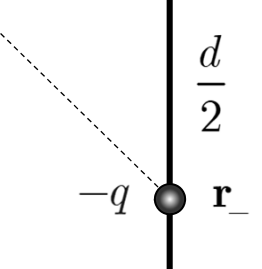
$$\psi\!\left(\mathbf{r}\right) = \frac{q}{4\pi\varepsilon_0} \frac{1}{\left|\mathbf{r} - \mathbf{r}_{\!_{+}}\right|} - \frac{q}{4\pi\varepsilon_0} \frac{1}{\left|\mathbf{r} - \mathbf{r}_{\!_{-}}\right|}$$

$$\psi\left(\mathbf{r}\right) pprox rac{q}{4\piarepsilon_0} \left[rac{1}{r}\left(1 + rac{d}{2r}\cos heta
ight) - rac{1}{r}\left(1 - rac{d}{2r}\cos heta
ight)
ight]$$

• I due termini si elidono

due termini si elidono
$$\psi\!\left(\mathbf{r}\right) \approx \frac{q}{4\pi\varepsilon_0}\!\left[\frac{d}{2r^2}\!\cos\theta + \frac{d}{2r^2}\!\cos\theta\right] \qquad \qquad \psi\!\left(r,\theta\right) = \frac{qd}{4\pi\varepsilon_0}\frac{\cos\theta}{r^2} \qquad \qquad -q \quad \mathbf{r}_-$$

$$\psi(r,\theta) = \frac{qd}{4\pi\varepsilon_0} \frac{\cos\theta}{r^2}$$



- ullet Osserviamo che il potenziale dipende solo dal prodotto qd
 - ullet Definiamo il momento di dipolo elettrico p=qd
 - Si definisce dipolo elettrico ideale un sistema nel quale

$$d \to 0$$

$$q \to \infty$$

$$qd \rightarrow p$$

d o 0 $q o \infty$ qd o p Il dipolo ideale è puntiforme

Dipolo elettrico: potenziale

• Sottolineiamo che la formula trovata descrive il sistema originale solo per distanze molto maggiori della distanza fra le cariche

$$\psi(r,\theta) = \frac{qd}{4\pi\varepsilon_0} \frac{\cos\theta}{r^2}$$



- Si attenua più rapidamente del potenziale di una carica puntiforme
- ullet La componente del potenziale delle singole cariche che varia come 1/r si cancella e rimane solo la componente che si attenua più rapidamente
- ullet Notiamo infine che il potenziale dipende dall'angolo polare heta
 - Era prevedibile che il potenziale non avesse più la simmetria sferica della carica puntiforme
 - Il dipolo ha una direzione privilegiata
 - L'asse delle due cariche
 - ullet Nel nostro caso coincide con l'asse z
- ullet Si definisce il vettore momento di dipolo ${f p}$ diretto dalla carica negativa alla carica positiva e modulo $|{f p}|=qd$
 - ullet In funzione del vettore ${f p}$ il potenziale diventa

$$-q$$
 \mathbf{r}

$$\psi(r,\theta) = \frac{1}{4\pi\varepsilon_0} \frac{\hat{\mathbf{e}}_r \cdot \mathbf{p}}{r^2}$$

Dipolo elettrico: campo elettrico

• Calcoliamo il campo elettrico del dipolo

$$\mathbf{\nabla} = \hat{\mathbf{e}}_r \frac{\partial}{\partial r} + \hat{\mathbf{e}}_\theta \frac{1}{r} \frac{\partial}{\partial \theta} + \hat{\mathbf{e}}_\phi \frac{1}{r \sin \theta} \frac{\partial}{\partial \phi}$$

- Utilizziamo le coordinate sferiche
- Ricordiamo il potenziale • Non dipende da ϕ :
 - simmetria azimutale $E_\phi=0$

$$\psi(r,\theta) = \frac{p}{4\pi\varepsilon_0} \frac{\cos\theta}{r^2}$$

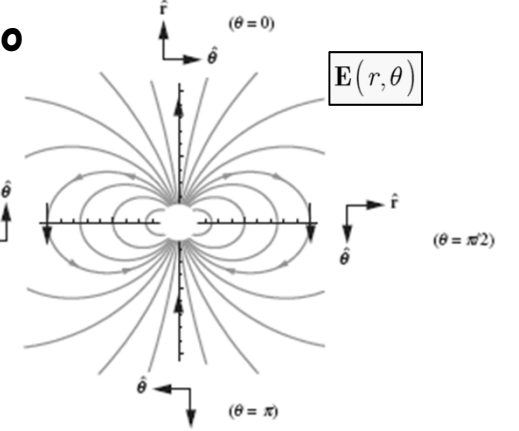
- Confrontiamolo inoltre con il potenziale della sfera conduttrice in campo uniforme (diapositiva 197) $V(r,\theta) = -E_0 \left(r + \frac{r_0^3}{r^2} \right) \cos \theta$
 - La carica superficiale della sfera genera un campo dipolare
- Calcoliamo il campo elettrico

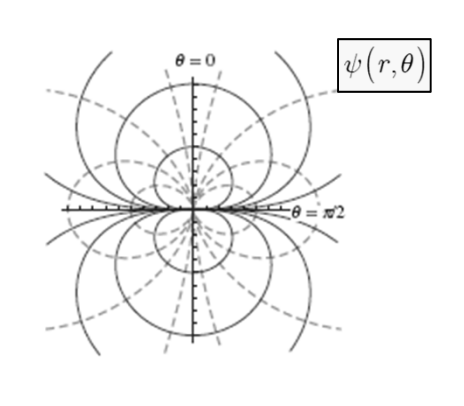
$$E_r \, = - \frac{\partial \psi}{\partial r} \, = \frac{1}{4\pi\varepsilon_0} \frac{2p\cos\theta}{r^3}$$

$$E_r = -\frac{\partial \psi}{\partial r} = \frac{1}{4\pi\varepsilon_0} \frac{2p\cos\theta}{r^3} \qquad \qquad E_\theta = -\frac{1}{r} \frac{\partial \psi}{\partial \theta} = \frac{1}{4\pi\varepsilon_0} \frac{p\sin\theta}{r^3}$$

• Notiamo che il campo elettrico decresce come $1/r^3$

$$\mathbf{E} = \frac{1}{4\pi\varepsilon_0} \frac{p}{r^3} \left(2\hat{\mathbf{e}}_r \cos\theta + \hat{\mathbf{e}}_\theta \sin\theta \right)$$





Forze sul dipolo elettrico

- Consideriamo un dipolo in un campo elettrico uniforme
 - Sulle due cariche agiscono due forze che si elidono
- \bullet Calcoliamo il lavoro fatto per ruotare il dipolo da una posizione parallela ad una che forma un angolo θ con E
 - Le due forze hanno adesso un momento meccanico $|\mathbf{F}|=qE$ $|\mathbf{\tau}|=qEd\sin\theta=pE\sin\theta$
 - \bullet Il lavoro compiuto da un momento delle forze per una rotazione $d\alpha$ è

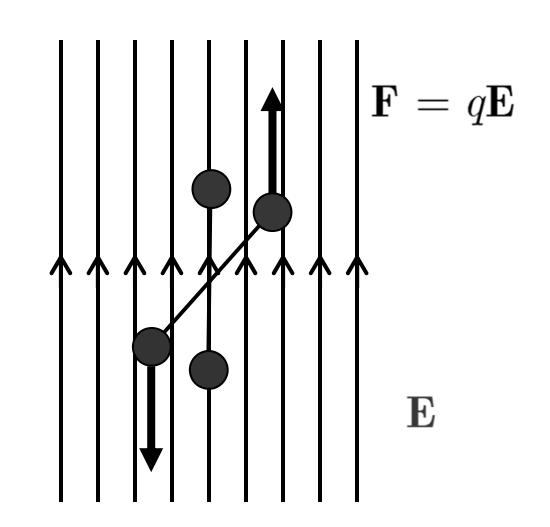
$$dW = \tau d\alpha = pE \sin \alpha d\alpha$$

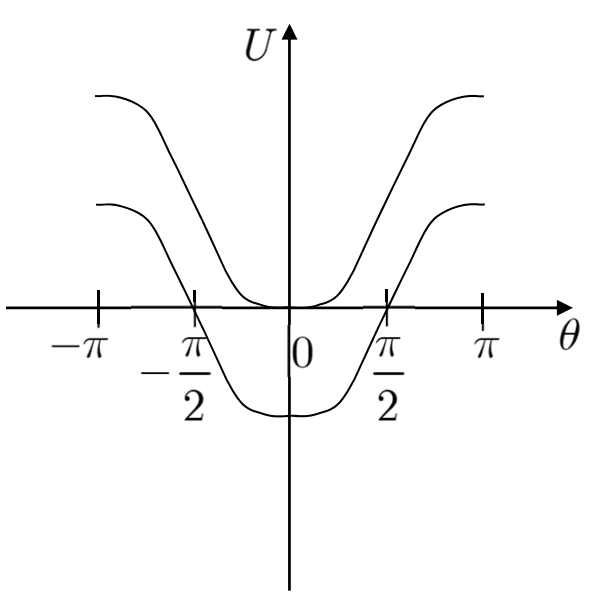
ullet Pertanto per ruotare il dipolo di un angolo heta si deve compiere un lavoro W

$$W = \int_0^\theta pE \sin \alpha d\alpha = pE (1 - \cos \theta)$$

- ullet Come al solito il lavoro fatto dalla forza esterna è uguale all'energia potenziale U del sistema
 - In realtà è il lavoro fatto dal momento della forza
 - ullet Il grafico mostra l'andamento dell'energia U
- ullet Si preferisce definire U(heta) in modo che $U(\pi/2)=0$

$$U(\theta) = -pE\cos\theta = -\mathbf{p}\cdot\mathbf{E}$$

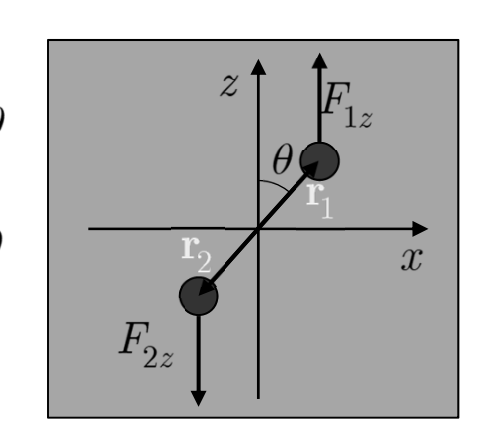




Forze sul dipolo elettrico

- Se il campo elettrico non è uniforme la risultante delle forze non è nulla
- ullet Calcoliamo la forza totale lungo l'asse z
 - Semplifichiamo limitandoci a un caso bidimensionale

$$F_{1z} = qE_z(x_1, z_1)$$
 $x_1 = x + \frac{d}{2}\sin\theta$ $F_{1z} \approx q\left[E_z(x, z) + \frac{\partial E_z}{\partial x} \frac{d}{2}\sin\theta + \frac{\partial E_z}{\partial z} \frac{d}{2}\cos\theta\right]$ $z_1 = z + \frac{d}{2}\cos\theta$



• Analogamente, per la forza 2

$$egin{align} F_{2z} &= -q E_z \left(\left. x_2, z_2
ight) \ F_{2z} &pprox -q \left[E_z \left(\left. x, z
ight) - rac{\partial E_z}{\partial x} rac{d}{2} \sin heta - rac{\partial E_z}{\partial z} rac{d}{2} \cos heta
ight] \ \end{array}$$

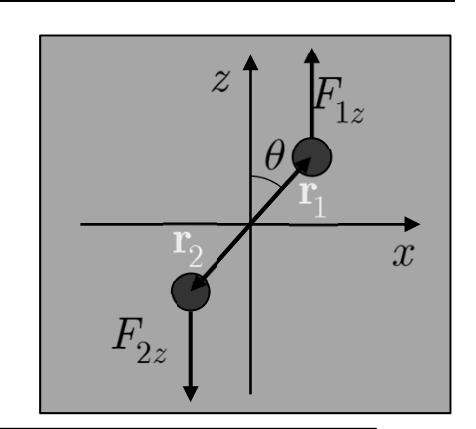
ullet Calcoliamo la componente z della forza totale sul dipolo

$$\begin{split} F_z &= F_{1z} + F_{2z} \\ F_z &= q \bigg[E_z \Big(x, z \Big) + \frac{\partial E_z}{\partial x} \frac{d}{2} \sin \theta + \frac{\partial E_z}{\partial z} \frac{d}{2} \cos \theta \bigg] \\ - q \bigg[E_z \Big(x, z \Big) - \frac{\partial E_z}{\partial x} \frac{d}{2} \sin \theta - \frac{\partial E_z}{\partial z} \frac{d}{2} \cos \theta \bigg] \end{split}$$

Forze sul dipolo elettrico

$$F_{z} = q \left[\frac{\partial E_{z}}{\partial x} \frac{d}{2} \sin \theta + \frac{\partial E_{z}}{\partial z} \frac{d}{2} \cos \theta + \frac{\partial E_{z}}{\partial x} \frac{d}{2} \sin \theta + \frac{\partial E_{z}}{\partial z} \frac{d}{2} \cos \theta \right]$$

$$= q d \sin \theta \frac{\partial E_{z}}{\partial x} + q d \cos \theta \frac{\partial E_{z}}{\partial z} = p_{x} \frac{\partial E_{z}}{\partial x} + p_{z} \frac{\partial E_{z}}{\partial z}$$



• Generalizzando a tre dimensioni

$$F_z = p_x \frac{\partial E_z}{\partial x} + p_y \frac{\partial E_z}{\partial y} + p_z \frac{\partial E_z}{\partial z}$$

$$F_z = p_x \frac{\partial E_z}{\partial x} + p_y \frac{\partial E_z}{\partial y} + p_z \frac{\partial E_z}{\partial z}$$

• Si trovano equazioni analoghe per le altre componenti

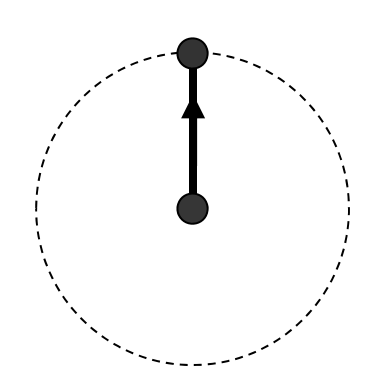
$$F_{x} = p_{x} \frac{\partial E_{x}}{\partial x} + p_{y} \frac{\partial E_{x}}{\partial y} + p_{z} \frac{\partial E_{x}}{\partial z} \qquad F_{y} = p_{x} \frac{\partial E_{y}}{\partial x} + p_{y} \frac{\partial E_{y}}{\partial y} + p_{z} \frac{\partial E_{y}}{\partial z}$$

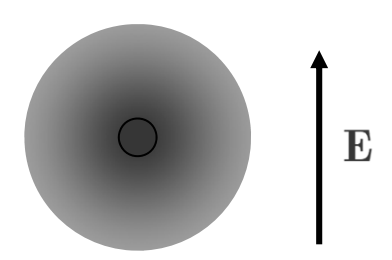
• Le equazioni possono essere riassunte in un'unica formula vettoriale

$$\mathbf{F} = (\mathbf{p} \cdot \mathbf{
abla}) \mathbf{E}$$

- Sottolineiamo che la forza sul dipolo è proporzionale al gradiente del campo
 - Ribadiamo che se il campo è uniforme la forza è nulla

- Il semplice modello "planetario" di atomo ha le caratteristiche di un dipolo
 - Consideriamo ad esempio un atomo di idrogeno
 - L'elettrone e il nucleo costituirebbero un dipolo
 - Sarebbe un dipolo ruotante molto rapidamente
 - Il momento di dipolo mediato nel tempo sarebbe nullo
 - Tuttavia dovrebbe emettere radiazione
 - Uno dei problemi insolubili dalla elettrodinamica classica
 - Risolto con la meccanica quantistica
- Utilizziamo un modello più aderente alla realtà
 - Lo abbiamo già visto
 - ullet Un nucleo positivo puntiforme di carica +q
 - ullet Una distribuzione sferica di carica negativa -q
- Se non lo perturbiamo ha una simmetria sferica
 - Il momento di dipolo è nullo
- Tuttavia un campo elettrico esterno può alterare la simmetria
 - Spostare le cariche elettriche: negativa verso il basso, positiva verso l'alto
 - L'atomo così perturbato ha un momento di dipolo
- ullet Calcoliamo il momento di dipolo in funzione del campo elettrico esterno ${f E}$





- Consideriamo il campo elettrico generato dalla distribuzione sferica e uniforme di carica negativa (l'elettrone)
 - Supponiamo che il campo esterno non modifichi la forma sferica della distribuzione di carica degli elettroni



- La carica negativa attrae il nucleo verso il centro della carica elettronica
- Il campo esterno respinge il nucleo dal centro della carica elettronica
- ullet Otteniamo l'equilibrio quando il nucleo è ad una distanza d dal centro dove il campo esterno è uguale al campo della distribuzione sferica di elettroni
- Abbiamo già risolto questo problema (vedi diapositiva 110)
- ullet Per una sfera di raggio R e carica totale q, il campo ad una distanza d dal centro della sfera è dato da

$$E_{e}\left(d\right) = \frac{q}{4\pi\varepsilon_{0}} \frac{d}{R^{3}}$$

ullet La distanza d è determinata dalla condizione

$$E_{e}(d) = E$$

Otteniamo

$$\frac{q}{4\pi\varepsilon_0}\frac{d}{R^3} = E \qquad qd = 4\pi\varepsilon_0 R^3 E$$

- ullet Se il nucleo positivo è spostato di una distanza d l'atomo è equivalente ad un dipolo di due cariche $\pm q$ a distanza d
 - L'atomo è pertanto equivalente ad un dipolo elettrico

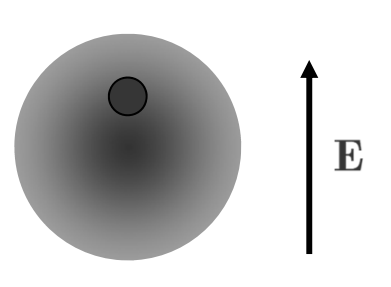
$$p = qd$$

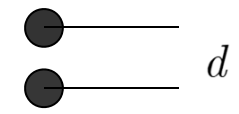
• La relazione appena trovata diventa

$$p = 4\pi\varepsilon_0 R^3 E$$
 $p = \alpha E$ $\alpha = 4\pi\varepsilon_0 R^3$

$$p = \alpha E$$

$$\alpha = 4\pi\varepsilon_0 R^3$$





- ullet Il coefficiente lpha prende il nome di polarizzabilità atomica
- Un calcolo esatto utilizzando la meccanica quantistica dà il seguente risultato

$$lpha=rac{9}{2}4\piarepsilon_0 a_0^3$$
 and a_0 raggio di Bohr $a_0=0.52 imes10^{-10}\mathrm{m}$

$$a_0 = 0.52 \times 10^{-10} \,\mathrm{m}$$

- La tabella nella diapositiva seguente mostra le polarizzabilità di alcuni atomi
 - ullet Spesso invece di lpha si definisce polarizzabilità atomica il rapporto

$$ullet$$
 Si misura in ${f m}^3$

$$\frac{\alpha}{4\pi\varepsilon_0}$$

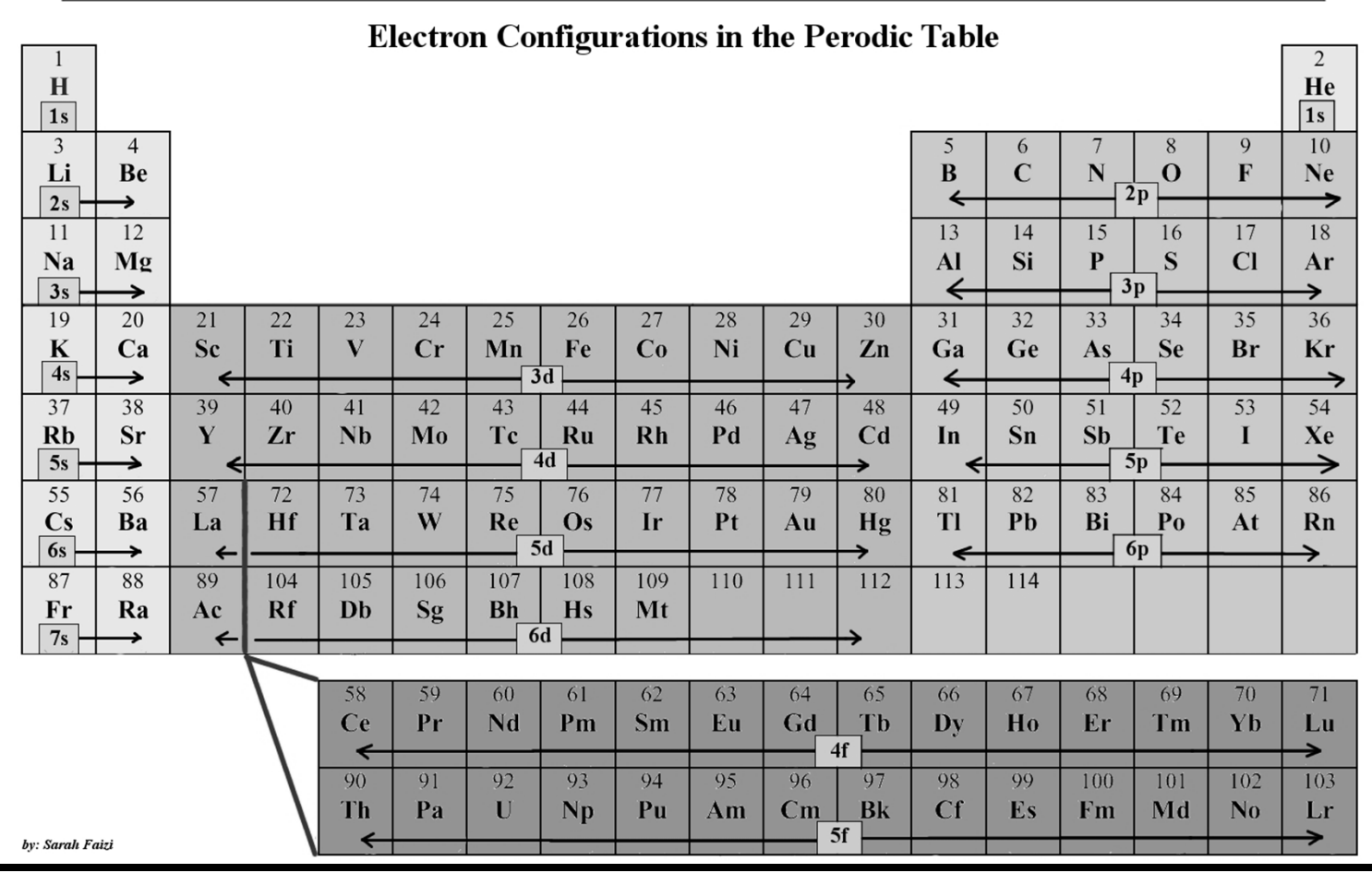
• Per l'idrogeno

$$\frac{\alpha}{4\pi\varepsilon_0} = 0.66 \times 10^{-30} \,\mathrm{m}^3$$
 $R = 0.87 \times 10^{-10} \,\mathrm{m}$



$$R = 0.87 \times 10^{-10} \text{m}$$

Atomic polarizabilities ($\alpha/4\pi\epsilon_0$), in units of $10^{-30}\mathrm{m}^3$									
Element	Н	Не	Li	Be	С	Ne	Na	Ar	K
$\alpha/4\pi\epsilon_0$	0.66	0.21	12	9.3	1.5	0.4	27	1.6	34



Momenti di dipolo permanente

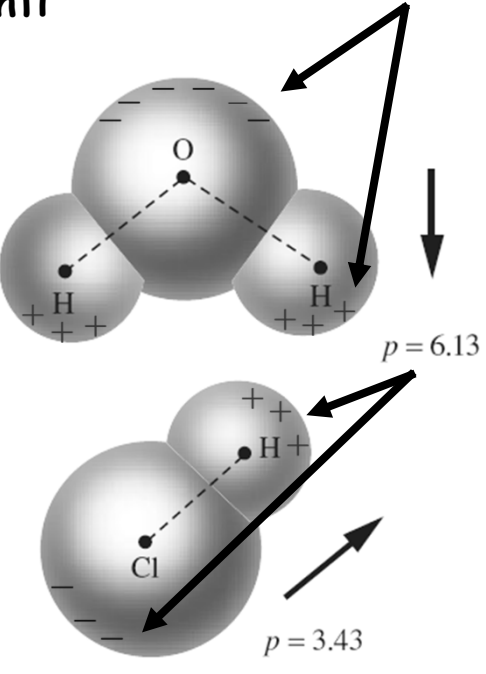
- La tabella precedente può essere interpretata qualitativamente con il semplice modello classico che abbiamo visto nelle diapositive precedenti
 - Gli elementi del I gruppo (metalli alcalini) hanno un elettrone esterno
 - La distribuzione di carica risulta facilmente deformabile, poco rigida
 - Gli elementi dell'ultimo gruppo (i gas nobili) hanno una struttura elettronica molto rigida
 - Poco deformabili

• Le molecole possono esibire dei momenti di dipolo permanenti

• I legami molecolari rendono le distribuzioni della carica degli elettroni asimmetriche

• Si formano delle regioni "positive" e regioni "negative"

- Normalmente i momenti di dipolo sono orientati casualmente
 - La somma di tutti i dipoli è in media nulla
- La presenza di un campo elettrico esterno li allinea, in media, in una direzione
 - Per comprendere a fondo l'allineamento occorre un modello termodinamico (lo faremo forse)
- In entrambi i casi la materia viene polarizzata
 - Il materiale ha un momento di dipolo totale non nullo



Momenti di dipolo permanente

- Le molecole delle figure precedenti hanno momenti di dipolo elettrico che, come vedremo fra poco, sono molto elevati
 - HCl

$$p=3.4 \times 10^{-30}$$
 coulomb-metro

 \bullet H_2O

- $p=6.1 imes 10^{-30}$ coulomb-metro
- Calcoliamo per confronto il momento di dipolo indotto in un atomo di idrogeno

$$\frac{\alpha}{4\pi\varepsilon_0} = 0.66 \times 10^{-30} \,\mathrm{m}^3$$

ullet Se applicassimo un campo di $1~{
m megavolt/m}$ ($1000~{
m V~su}~1~{
m mm}$) il momento di dipolo indotto sarebbe

$$\alpha = 4\pi\varepsilon_0 \times 0.66 \times 10^{-30} = \frac{0.66 \times 10^{-30}}{9 \times 10^9} = 7.3 \times 10^{-41}$$

$$p = \alpha E = 7.3 \times 10^{-41} \times 10^6 = 7.3 \times 10^{-35}$$
 coulomb-metro

- Come si vede se una molecola ha un momento di dipolo permanente questo è di solito enormemente superiore a quello indotto in un atomo simmetrico
- Questa è la distinzione fra molecole polari e molecole normali
- ullet Per finire vale la pena notare quanto vale il campo elettrico di un protone a distanze di circa $1~{
 m \AA}$ e 1

$$E = \frac{e}{4\pi\varepsilon_0} \frac{1}{\left(10^{-10}\right)^2} \approx 10^{11} \, \mathrm{V/m}$$

- Vale la pena a questo punto fare una piccola digressione per introdurre l'espansione multipolare del potenziale elettrico (o del campo elettrico)
 - Il dipolo che abbiamo studiato è il multipolo di ordine 1
- Abbiamo visto che il potenziale elettrico di una distribuzione arbitraria di carica ρ in un punto P si scrive come (vedi diapositiva 69)

$$\phi(\mathbf{r}) = \frac{1}{4\pi\varepsilon_0} \int_{V} \frac{\rho(\mathbf{r}')d^3\mathbf{r}'}{R} = \frac{1}{4\pi\varepsilon_0} \int_{V} \frac{\rho(\mathbf{r}')d^3\mathbf{r}'}{|\mathbf{r} - \mathbf{r}'|}$$

- ullet Per semplicità consideriamo ${f r}$ sull'asse z
- ullet L'approssimazione di questa formula per distanze r molto maggiori delle dimensioni della distribuzione di carica ci ha portato all'introduzione del dipolo
- Esaminiamo il denominatore

$$\frac{1}{R} = \frac{1}{|\mathbf{r} - \mathbf{r}'|} = \frac{1}{(r^2 + r'^2 - 2rr'\cos\theta')^{\frac{1}{2}}} = \frac{1}{r} \left(1 + \frac{r'^2}{r^2} - 2\frac{r'}{r}\cos\theta'\right)^{-1/2}$$

$$\bullet$$
 Poniamo $u=rac{r'}{r}$ \Longrightarrow $rac{1}{R}=rac{1}{r}rac{1}{\sqrt{1+u^2-2u\cos\theta'}}$

R

$$\phi(\mathbf{r}) = \frac{1}{4\pi\varepsilon_0} \int_V \frac{\rho(\mathbf{r}')d^3\mathbf{r}'}{R} \qquad \frac{1}{R} = \frac{1}{r} \frac{1}{\sqrt{1 + u^2 - 2u\cos\theta'}} \qquad u = \frac{r'}{r}$$

• Ricordiamo la funzione generatrice dei polinomi di Legendre (diapositiva 194)

$$\frac{1}{\sqrt{1 - 2u\cos\theta' + u^2}} = \sum_{n=0}^{\infty} P_n(\cos\theta')u^n$$

• Introduciamo nel potenziale

$$\phi(\mathbf{r}) = \frac{1}{4\pi\varepsilon_0} \int_{V} \frac{\rho(\mathbf{r}')d^3\mathbf{r}'}{R} = \frac{1}{4\pi\varepsilon_0} \int_{V} \frac{1}{r} \sum_{n=0}^{\infty} P_n(\cos\theta') \frac{r'^n}{r^n} \rho(\mathbf{r}')d^3\mathbf{r}'$$

$$\phi(\mathbf{r}) = \frac{1}{4\pi\varepsilon_0} \sum_{n=0}^{\infty} \frac{1}{r^{n+1}} \int_{V} P_n(\cos\theta') r'^n \rho(\mathbf{r}') d^3 \mathbf{r}'$$

$$=\frac{1}{4\pi\varepsilon_0}\left[\frac{1}{r}\int\rho d^3\mathbf{r}'+\frac{1}{r^2}\int r'P_1(\cos\theta')\rho d^3\mathbf{r}'+\frac{1}{r^3}\int r'^2P_2(\cos\theta')\rho d^3\mathbf{r}'+\ldots\right]$$

$$\phi(\mathbf{r}) = \frac{1}{4\pi\varepsilon_0} \left[\frac{1}{r} \int \rho d^3 \mathbf{r}' + \frac{1}{r^2} \int r' P_1(\cos\theta') \rho d^3 \mathbf{r}' + \frac{1}{r^3} \int r'^2 P_2(\cos\theta') \rho d^3 \mathbf{r}' + \dots \right]$$

• Pertanto otteniamo il seguente sviluppo del potenziale

$$\phi\!\left(\mathbf{r}\right) = \frac{1}{4\pi\varepsilon_0}\!\left[\frac{1}{r}K_0 + \frac{1}{r^2}K_1 + \frac{1}{r^3}K_2 + \ldots\right] \qquad \phi\!\left(\mathbf{r}\right) = \frac{1}{4\pi\varepsilon_0}\sum_{n=0}^\infty \frac{1}{r^{n+1}}K_n$$

ullet Le quantità K_n sono gli integrali della densità di carica

$$K_{n} = \int r'^{n} P_{n} \left(\cos \theta'\right) \rho \left(\mathbf{r}'\right) d^{3} \mathbf{r}'$$

- L'espansione scritta si chiama espansione multipolare del potenziale
- ullet I coefficienti K_n sono i momenti di multipolo della distribuzione di carica
 - ullet Il momento K_0 è detto momento di monopolo
 - ullet Il momento K_1 è detto momento di dipolo
 - ullet Il momento K_2 è detto momento di quadrupolo
 - ... ottupolo
 - ullet NB: le espressioni trovate presuppongono che il punto ${f r}$ sia sull'asse z
 - Per r arbitrario le formule utilizzano le armoniche sferiche

$$\phi(\mathbf{r}) = \frac{1}{4\pi\varepsilon_0} \sum_{n=0}^{\infty} \frac{1}{r^{n+1}} K_n$$

- L'utilità di questa espansione sta nel fatto che a grandi distanze il potenziale è completamente determinato dal primo momento non nullo dello sviluppo
 - ullet I termini successivi vanno a zero più rapidamente con potenze di 1/r maggiori
 - I termini precedenti sono nulli
- ullet Se $K_0
 eq 0$ il potenziale ha un andamento di monopolo
 - Il potenziale di una carica puntiforme nell'origine
- ullet Se $K_0=0$ allora il prossimo termine importante è K_1

$$K_{0}=\int
ho \left(\mathbf{r}^{\prime }
ight) d^{3}\mathbf{r}^{\prime }=0$$
 Il sistema è neutro

- ullet Il termine importante è K_{1} , il dipolo che abbiamo studiato
- ullet Se anche $K_1=0$ allora si va ai termini superiori, ad esempio il quadrupolo
- I momenti di multipolo dipendono dalle simmetrie (o asimmetrie) della distribuzione di carica

$$K_{n} = \int r'^{n} P_{n} \left(\cos \theta'\right) \rho \left(\mathbf{r}'\right) d^{3} \mathbf{r}'$$

- Calcoliamo adesso il campo elettrico prodotto dalla materia polarizzata
 - Supponiamo di avere un blocco di materia polarizzata
 - Per il momento non chiediamoci come sia stata polarizzata
 - Immaginiamo che i dipoli siano allineati in una certa direzione, supponiamo lungo l'asse z
 - Supponiamo che ci siano $n(\mathbf{r})$ dipoli per unità di volume
 - Supponiamo che ogni dipolo abbia valore p
- Introduciamo il vettore densità di polarizzazione P

$$\mathbf{P}(\mathbf{r}) = n(\mathbf{r})\mathbf{p}$$

- Le sue dimensioni sono (momento di dipolo)/m³
 - C-m/m³ = C/m²: Coulomb per m²
 - \bullet $n(\mathbf{r})$ (e quindi P) in generale sono funzioni della posizione
- Supponiamo che $n(\mathbf{r})$ sia tanto grande che in un volume dv (infinitesimo per la geometria del problema ma macroscopico su scala atomica) ci sia un numero di dipoli molto grade
 - ullet Diciamo allora che un elemento di volume dv del blocco di materia ha un momento di dipolo

$$d\mathbf{p} = \mathbf{P} dv$$

dv

- Per calcolare il campo elettrico generato all'esterno del materiale suddividiamo il blocco in tante "colonne" verticali
 - Calcoliamo il campo elettrico generato da una "colonna"
 - Consideriamo un elemento della colonna

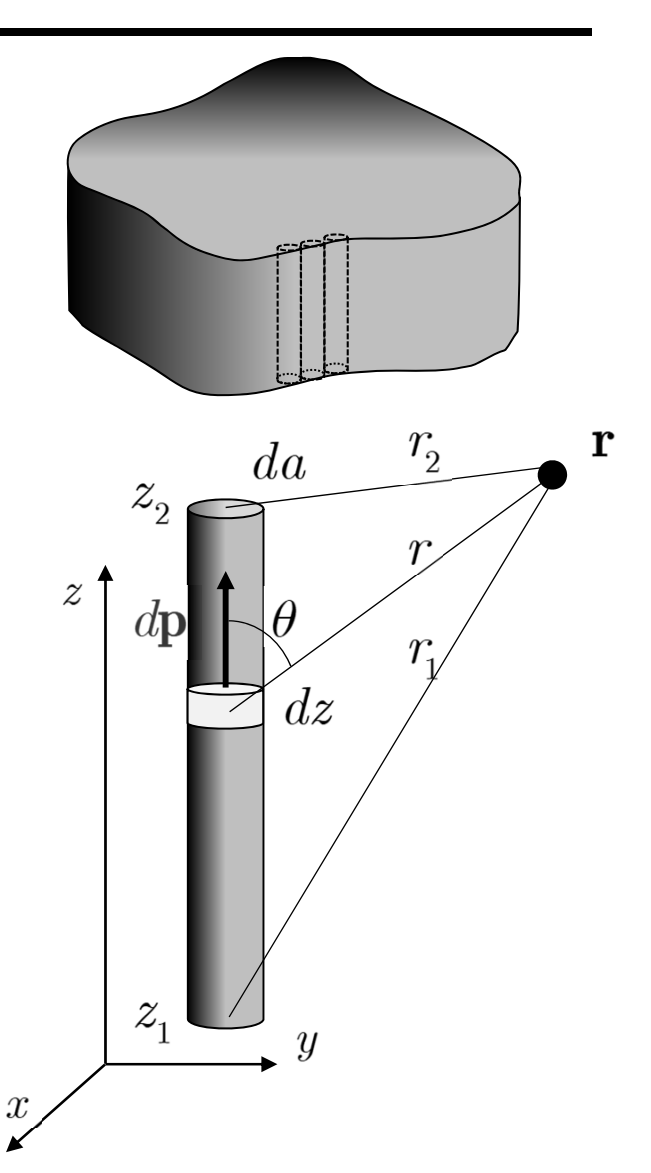
$$dv = dadz$$
 $d\mathbf{p} = \mathbf{P}dv$

• Il potenziale generato da questo dipolo è dato da (vedi diapositiva 272)

$$d\phi(\mathbf{r}) = \frac{d\mathbf{p} \cdot \hat{\mathbf{r}}}{4\pi\varepsilon_0 r^2} = \frac{dp\cos\theta}{4\pi\varepsilon_0 r^2}$$

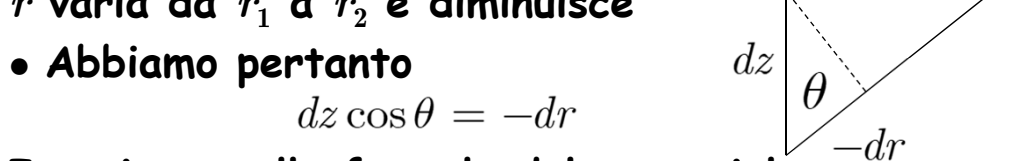
$$d\phiig(\mathbf{r}ig) = \int_{z_1}^{z_2} rac{Pdadz\cos heta}{4\piarepsilon_0 r^2}$$

$$d\phi(\mathbf{r}) = \frac{Pda}{4\pi\varepsilon_0} \int_{z_1}^{z_2} \frac{dz \cos \theta}{r^2}$$



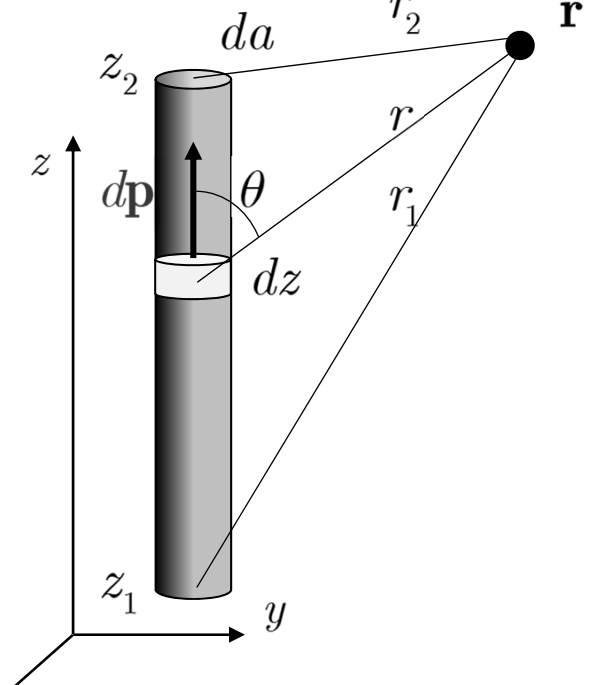
- ullet Per calcolare l'integrale osserviamo la relazione fra dr e dz
 - ullet Osserviamo che quando z varia da z_1 a z_2 r varia da r_1 a r_2 e diminuisce

$$dz\cos\theta = -dr$$



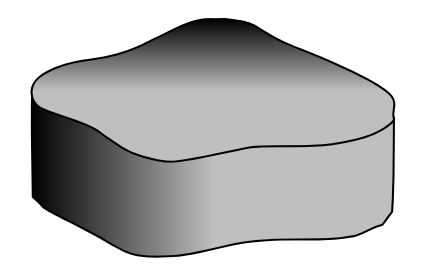
• Inseriamo nella formula del potenziale

$$d\phi(\mathbf{r}) = \frac{Pda}{4\pi\varepsilon_0} \int_{z_1}^{z_2} \frac{dz \cos \theta}{r^2} = \frac{Pda}{4\pi\varepsilon_0} \int_{r_1}^{r_2} -\frac{dr}{r^2}$$
$$d\phi(\mathbf{r}) = \frac{Pda}{4\pi\varepsilon_0} \left(\frac{1}{r_2} - \frac{1}{r_1}\right)$$



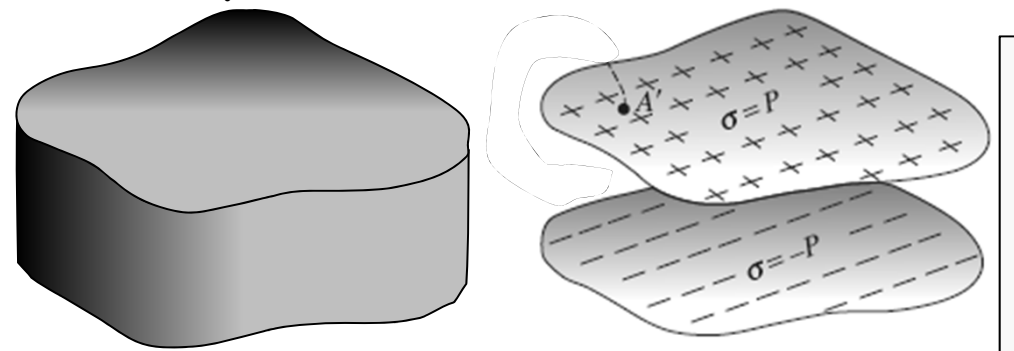
- Questa formula è identica a quella del potenziale 🔎 generato da una carica +Pda posta a z_2 e una carica -Pda posta a z_1
- Il calcolo viene concluso integrando sulla superficie del blocco di dielettrico

$$\phi(\mathbf{r}) = \int_{S} \frac{Pda}{4\pi\varepsilon_{0}} \left(\frac{1}{r_{2}} - \frac{1}{r_{1}}\right)$$



$$\phi(\mathbf{r}) = \int_{S} \frac{Pda}{4\pi\varepsilon_{0}} \left(\frac{1}{r_{2}} - \frac{1}{r_{1}}\right)$$

 Pertanto il risultato del calcolo è che il blocco di materiale polarizzato genera un potenziale elettrico identico a quello di due densità di carica superficiale poste sulle superfici esterne del blocco



Attenzione
Per calcolare il campo
elettrico all'esterno si usano
SOLAMENTE
i due piani di carica
FRA I PIANI C'È IL VUOTO

 La densità superficiale di carica è data dal modulo del vettore densità di polarizzazione

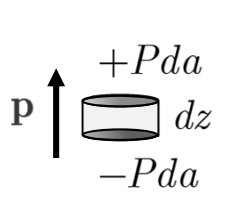
$$\sigma = P = |\mathbf{P}|$$

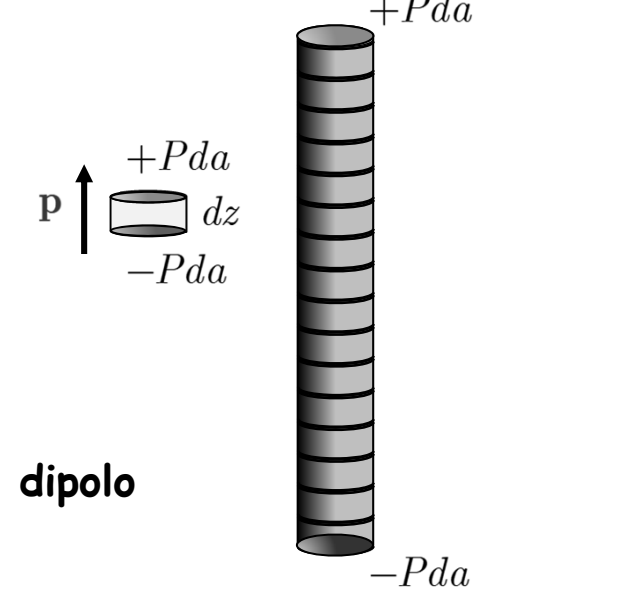
- Sottolineiamo che abbiamo fatto molte assunzioni
 - Polarizzazione uniforme
 - ullet Diretta lungo l'asse z

- Abbiamo visto che una colonna di materiale polarizzato genera un campo equivalente a quello di due piccoli strati di carica +Pda e -Pdaposti sulle facce superiore e inferiore del cilindro
 - Possiamo convincerci del risultato precedente in un modo meno matematico e più fisico, più intuitivo
 - Suddividiamo la colonna in tanti cilindretti infinitesimi.
 - ullet Il singolo cilindretto ha un volume $dv=da\ dz$
 - Il suo momento di dipolo è p = P dv
 - Ai fini del campo generato all'esterno del cilindretto possiamo sostituirlo con due strati circolari di carica positiva e negativa $dq_{\pm}=\pm Pda$
 - Il cilindretto e i due strati hanno lo stesso momento di dipolo

$$p = dqdz = Pdadz = Pdv$$

- Generano lo stesso campo all'esterno
- Se facciamo lo stesso con tutti i cilindretti otteniamo la condizione in figura
 - Tutti gli strati di carica intermedi si cancellano
 - Rimangono solo i due strati sulla faccia superiore e quello sulla faccia inferiore





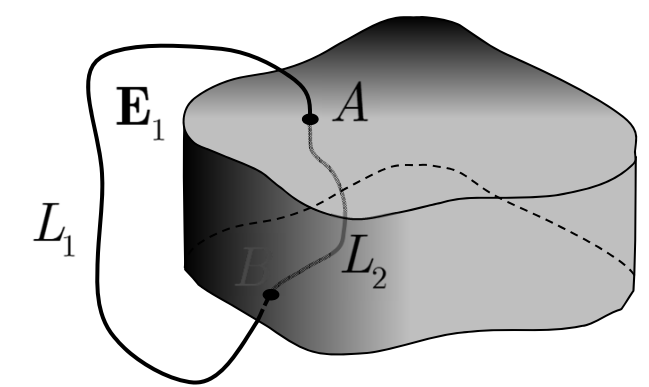
- La sostituzione del blocco di dielettrico con due strati di carica è adeguato per il calcolo del campo all'esterno del materiale
 - In particolare permette di calcolare l'integrale fra due punti qualunque purché esterni al blocco di dielettrico
 - È sufficiente infatti calcolare l'integrale utilizzando il campo generato dai due strati di carica

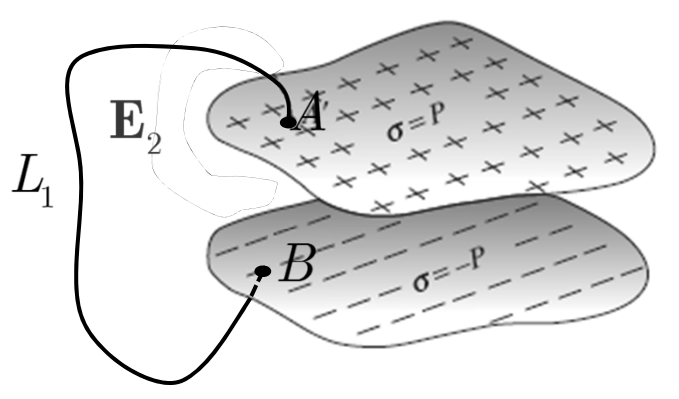
$$\mathbf{E}_1 = \mathbf{E}_2 \qquad \int_A^B \mathbf{E}_1 \cdot d\mathbf{l} = \int_A^B \mathbf{E}_2 \cdot d\mathbf{l}$$

- Abbiamo dimostrato che i due sistemi sono equivalenti per il campo esterno
- Questa semplice e banale osservazione ci permette di farne un'altra, per nulla banale
 - Anche se il campo all'interno del materiale è molto complicato sappiamo calcolare il suo integrale fra due punti sulla superficie

$$\oint \mathbf{E} \cdot d\mathbf{l} = 0 = \int_{A}^{B} \mathbf{E} \cdot d\mathbf{l} + \int_{B}^{A} \mathbf{E} \cdot d\mathbf{l} \qquad \int_{A}^{B} \mathbf{E} \cdot d\mathbf{l} = \int_{A}^{B} \mathbf{E}_{2} \cdot d\mathbf{l}$$

$$-L_{2} \qquad L_{1}$$





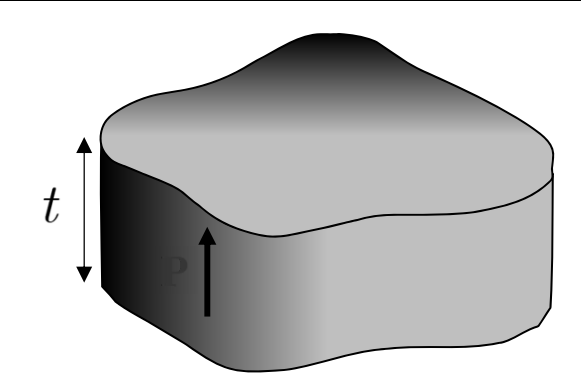
- Supponiamo adesso che lo spessore del blocco che stiamo studiando sia sottile
 - Stiamo inoltre supponendo che la polarizzazione sia uniforme: P costante
 - Rimaniamo comunque lontani dai bordi

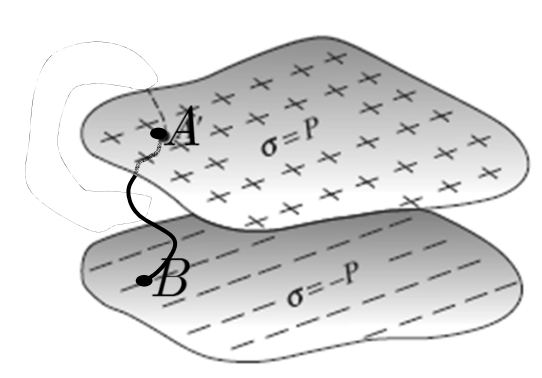
• In queste condizioni il campo fra i due strati è
$$\mathbf{E} = -\frac{\sigma}{\varepsilon_0} \hat{\mathbf{e}}_z = -\frac{P}{\varepsilon_0} \hat{\mathbf{e}}_z = -\frac{\mathbf{P}}{\varepsilon_0}$$
• La differenza di potenziale

$$\phi_{\!\scriptscriptstyle A} - \phi_{\!\scriptscriptstyle B} = rac{P}{arepsilon_0} t$$

- All'interno del dielettrico il campo è estremamente complicato
 - Vicino ad un atomo il campo elettrico raggiunge valori dell'ordine di $\rm E=10^{11}~V/m$
 - ullet Vicino ad una molecola polare (diciamo a $10~\hbox{\AA}$ di distanza) il campo raggiunge valori dell'ordine di $10^7-10^8~{
 m V/m}$

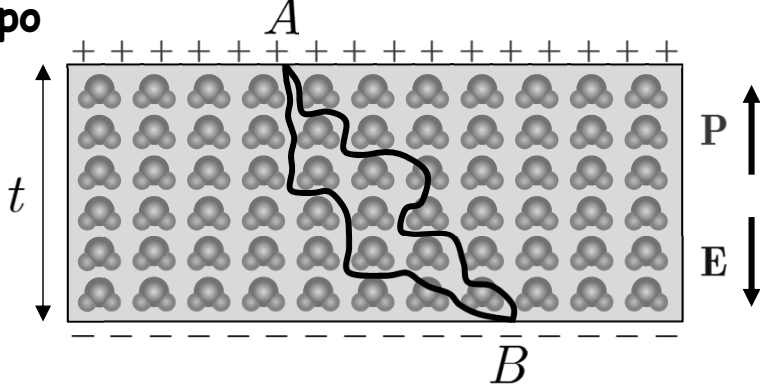
$$E \sim \frac{1}{4\pi\varepsilon_0} \frac{p}{r^3}$$
 $p = 6 \times 10^{-30} \,\mathrm{Cm}$ $r = 10 \times 10^{-10} = 10^{-9} \,\mathrm{m}$ $E \sim 9 \times 10^9 \times 6 \times 10^{-3} \approx 5 \times 10^7 \,\mathrm{V/m}$





- Tuttavia, nonostante la complessità del campo elettrico all'interno del materiale abbiamo visto una sua proprietà sorprendente
 - L'integrale di linea fra due punti A e B è uguale a quello del campo prodotto da due strati di carica $\sigma=\pm P$

$$\int_{A}^{B} \mathbf{E} \cdot d\mathbf{l} = \frac{\sigma}{\varepsilon_{0}} t = \frac{P}{\varepsilon_{0}} t$$

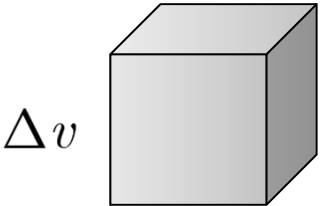


- Ovviamente è anche indipendente dal particolare cammino
- Infatti, per quanto si tratti di un campo molto complesso si tratta comunque di un campo elettrostatico che obbedisce alle leggi dell'elettrostatica
 - ullet In particolare la circuitazione di ${f E}$ è nulla

$$\oint \mathbf{E} \cdot d\mathbf{l} = 0$$

- Lungo una linea si incontrano campi di enorme intensità con grandi variazioni
 - ullet In un millesimo di millimetro ($1 \mu m = 10^{-6} \; m)$ si incontrano circa 10^4 dipoli
 - Gran parte dei contributi all'integrale si elidono
 - Se il materiale non fosse polarizzato il risultato sarebbe nullo
 - È naturale supporre che queste cancellazioni avvengano anche se si sommano i campi presenti in moltissimi punti adiacenti

- ullet Significa che se consideriamo un volumetto infinitesimo Δv
 - Grande a livello microscopico
 - Che contiene tanti atomi o dipoli
 - Se sommiamo il campo misurato in punti diversi all'interno del volumetto molti contributi si elidono



ullet Questo risultato induce a pensare che si possa definire un valor medio di ${f E}$

$$\left\langle \mathbf{E} \right
angle = rac{1}{\Delta V} \int_{\Delta V} \mathbf{E} dv$$

- La media è calcolata in volumi infinitesimi su scala macroscopica ma grandi abbastanza da contenere un grande numero di dipoli
 - In questo modo si eliminano le variazioni dovute a possibili fluttuazioni nelle cancellazioni dei campi microscopici
- Nel sistema che stiamo analizzando (il blocco di dielettrico polarizzato) il valore di questa media è molto semplice

$$\left\langle \mathbf{E}
ight
angle = -rac{\mathbf{P}}{arepsilon_0}$$

- È un sistema molto semplice
 - La polarizzazione è uniforme

 Allo stesso modo si possono calcolare le medie di altre grandezze finora definite solo a livello microscopico

$$\left\langle \rho \right\rangle = \frac{1}{\Delta V} \int_{\Delta V} \rho dv \qquad \left\langle \phi \right\rangle = \frac{1}{\Delta V} \int_{\Delta V} \phi dv$$

- Queste definizioni risulteranno utili solo se le leggi dell'elettrostatica valgono anche per le quantità mediate
 - Si verifica che valgono!

$$\oint \langle \mathbf{E} \rangle \cdot d\mathbf{l} = 0 \qquad \langle \mathbf{E} \rangle = -\nabla \langle \phi \rangle$$

$$\oint \langle \mathbf{E} \rangle \cdot d\mathbf{a} = \frac{Q}{\varepsilon_0} \qquad \nabla \cdot \langle \mathbf{E} \rangle = \frac{\langle \rho \rangle}{\varepsilon_0} \qquad \nabla^2 \langle \phi \rangle = -\frac{\langle \rho \rangle}{\varepsilon_0}$$

- A questo punto possiamo anche osservare che una volta verificato che le cose funzionano possiamo abbandonare questa notazione "pesante"
 - In presenza di dielettrici si lavora sempre ad una scala macroscopica
 - Le grandezze fisiche sono sempre medie di grandezze microscopiche
 - Si elimina il simbolo di media $\langle X \rangle$ che viene sottinteso